

## SEÇÃO LATINO-AMERICANA DA AMERICAN NUCLEAR SOCIETY

### MEDIDA DO FLUXO DE NÊUTRONS TÉRMICOS DO REATOR IPENIMB-01 COM DETECTORES DE ATIVAÇÃO DE FIOS DE 197AU

André Luis Ferreira Marques 1 Daniel Kao Sun Ting 2 Ulysses dvtra Bitelli 3

#### **RESUMO**

Este trabalho apresenta a implantação da técnica de medida do fluxo neutrônico por meio da análise da ativação de detectores de fios, com o propósito de determinar a distribuição espacial do fluxo neutrônico da unidade critica do reator IPEN/MB-01. São apresentadas as medidas da distribuição espacial do fluxo térmico de nêutrons obtidas por ativação de fios de ouro com diâmetros nominais de 0.125 e 0.250 mm, em sete canais do núcleo do reator. O emprego de fios de ouro para medida de fluxo neutrônico foi feito pela primeira vez no reator IPEN/MB-01, estando esta técnica implementada para uso de experimentalistas no mapeamento de fluxo do reator.

#### ABSTRACT

The main task of this work is the implementation of the thermal neutron flux measurement technique, using gold wires as activation detectors in the IPEN/MB-0l reactor core. The neutron thermal flux spatial distribuition was obtained by gold wire activation technique, with vire diameters of 0.125 and 0.250 mm in seven selected reactor experimental channels. This experiment was the first conducted with gold vires in the IPEN/MB-01 reactor, being this technique implemented for use by experimentalists in flux mapping of the core.

#### 1. INTRODUÇÃO

O objetivo deste trabalho é descrever a implantação da técnica de ativação e contagem de fios para medir a distribuição espacial do fluxo neutrônico térmico em canais do reator IPEN/MB-01, por meio da irradiação de fios de ouro (197Au), tendo em vista à verificação do projeto neutrônico do reator nuclear da Instalação Nuclear à Água Pressurizada (INAP) da Marinha do Brasil (MB).

O Reator IPEN/MB-01 é uma instalação do tipo Unidade Crítica, destinada ao estudo das características neutrônicas de núcleos moderados a água leve, possibilitando a verificação experimental de métodos de cálculo, estruturas celulares e malhas do reator. efetividade das barras de controle e resposta do núcleo a inserções de reatividade.

As medidas de fluxo e espectro de energia dos nêutrons por ativação são feitas através da contagem da radioatividade induzida nos detectores de ativação, por meio da espectrometria da radiação ou da partícula emitida (gama, beta etc.). Os detectores de ativação são pequenos fios, folhas, fitas, discos ou esferas de metais ou pastilhas que, ao serem ativados por nêutrons, produzem radioisótopos que decaem emitindo radiações ionizantes (as quais por sua vez serão medidas).

Atualmente, a utilização da técnica de irradiação e contagem de detectores de ativação de fios está dominada e consagrada, encontrando-se em *larga* utilização (9), principalmente em reatores nucleares de pesquisa (1).

O fluxo neutrônico pode ser obtido numa primeira instância pela solução da Equação de Transporte de Nêutrons com dependência espacial, energética e angular.

i Capitão-Tenente (EN), Engenheiro Naval, Gerente de Projetos. Coordenadoria Para Projetos Especiais - Ministério da Marinha

s PhD, Engenheiro Nuclear, Instituto de Pesquisas Energéticas e Nucleares IPENICNEN-SP

<sup>3</sup> Mestre, Físico Nuclear, Instituto de Pesquisas Energéticas e Nucleares IPEN/CNEN-SP



### SEÇÃO LATINO-AMERICANA DA AMERICAN NUCLEAR SOCIETY

Todavia. a solução desta equação apresenta muitas incertezas, por causa do seguinte conjunto de fatores:

- 1) das heterogeneidades inerentes ao núcleo do reator;
- 2) das simplificações implementadas nos modelos: e
- 3) das imprecisões e incertezas dos dados nucleares.

Pelos motivos expostos acima, somente com medidas experimentais do fluxo neutrônico, em confronto com cálculos, é que podem ser validadas ou corrigidas as hipóteses assumidas para a solução das equações propostas para validar o projeto neutrônico do núcleo.

A presente técnica também permite fazer o mapeamento de fluxo absoluto de núcleos de reatores de potência para várias  $finalidades \ como \ a \ calibração \ de \ potência, \ determinação \ de \ Bumup, \ a \ densidade \ de \ potência \ (W/m3), \ curvatura \ do \ fluxo \ de \ nêutrons$ (Buckling); distribuição de temperatura no interior do reator; a estratégia de movimentação de barras de controle e de segurança, de modo que seja compensada a queima de combustível durante a operação do reator; a razão de conversão; o número requerido de elementos combustíveis para se atingir a criticalidade.

#### 2. DESCRICÃO

Inicialmente preparamos o fio para ser inserido no núcleo (nos 209 canais disponíveis), cortando-o em comprimentos de 1300 mm e soldando-se dois parafusos adaptados um em cada extremidade do fio, para mantê-lo esticado durante a irradiação e a respectiva

Para prover apoio mecánico e proteção física o fio de Ouro é colocado no interior de um tubo de Alumínio (com diâmetro externo de 4,5 mm), material este de fácil trabalhabilidade e com seções de choque de absorção e espalhamento de nêutrons térmicos muito pequenas (cerca de 0.241 e 1 .4 barns respectivamente) 121. O tubo de Alumínio não é estanque ao moderador, para que as mesmas condições do núcleo sejam garantidas no detector.

o fio é então fracionado por meio do Uma vez inserido no tubo de Alumínio, por meio de parafuso sem cabeça e com porca garantindo-se que ocupará a posição central do tubo de Alumínio em todo o seu comprimento (a outra extremidade do fio possui um parafuso com cabeça que se apoia no tubo de Alumínio).

O procedimento de irradiação estando o fio de ativação já posicionado no canal selecionado constitui em criticalizar o reator e estabilizar o nível de potência via instrumentação do próprio reator. Atingido este ponto, prosseguimos com a irradiação do detector durante um intervalo de tempo, de pelo menos 30 minutos 111.

Para a medida do fluxo térmico. emprega-se o procedimento "Cadmium-differeoce method" - método da diferença ou razão de Cádmio, que consiste em se irradiar, na mesma posição, um detector com uma cobertura de Cádmio, com espessura da ordem de 1.0  $mm - 0.040 \ pol. \ e \ um \ detector \ sem \ a \ cobertura \ (nu). \ Desta \ forma, medimos \ a \ atividade \ existente \ nos \ dois \ fios. \ subtraindo-se \ a \ atividade$ sem cobertura daquela existente no detector nu. Em ambos os casos utiliza -se a cobertura de Alumínio.

A cobertura de Cádmio atua como um filtro "seletivo" (retendo os nêutrons com energia abaixo da energia de corte do Cádmio). O  $fluxo\ t\'ermico\ \'e\ calculado\ atrav\'es\ da\ diferença\ entre\ o\ fluxo\ total\ e\ o\ fluxo\ n\~ao\ t\'ermico).$ 

Para o emprego do método da Razão de Cádmio utilizamos como cobertura um tubo de 0.09 pol de diâmetro externo e espessura de 0.5 mm, com pureza 99,999 %.

Conforme mencionado, existem 209 canais nas placas espaçadoras superior e inferior do núcleo do Reator 1PENIMB-01, onde podem ser inseridos os fios para irradiação. Em nosso experimento, foram selecionados 7 canais, posicionados e medidos da seguinte forma:



## SEÇÃO LATINO-AMERICANA DA AMERICAN NUCLEAR SOCIETY



- um canal ao centro do núcleo, com 73 pontos axiais medidos;
- três canais no sentido do centro para leste, igualmente espaçados de 60 mm radialmente, com 30 pontos axiais medidos:
- um canal na região do refletor com 16 pontos axiais medidos;
- um canal próximo a uma das barras de controle (Ag-ln-Cd); e um no interior da região de atuação do Mecanismo de Acionamento de Barras, só que afastado das barras de controle, ambos com 28 pontos axiais medidos.

Após a irradiação, o reator é desligado com a inserção de barras e drenagem do moderador, iniciando-se o procedimento de radioproteção para o acesso ao núcleo e a retirada do fio irradiado. Em seguida, o fio é levado para o dispositivo de contagem.

Para a contagem dos fios, foi montado um sistema que é composto pelos seguintes itens:

- 1) Bancada do Sistema para suportação dos sistemas a seguir;
- 2) Sistema de Movimentação do Fio que possui:
- -motor de passo (acionado eletronicamente. com precisão de posição da ordem de 0.5 mm, havendo possibilidade de acionamento programado por computador).
  - hastes ajustáveis de apoio;
  - fuso ou sem-fim;
  - régua de fixação (com base de lucite para evitar interferências) do fio a ser medido.

Este sistema possui 2054 mm de comprimento. 600 mm de largura e 250 mm de altura. O fio ativado é fixado na régua pelos seus parafusos, que se encaixam em ressaltos da régua, deixando o fio perfeitamente esticado. Com o acionamento do motor de passo, a régua (atrelada ao fuso) movimenta-se por dentro da Capela de Blindagem,

- 3) Capela de Blindagem que possui
- colimador circular (projetado com uma abertura de 10 mm de diâmetro).
- paredes em Chumbo; e
- disposiuvos de fixação e suporte (em aço) para o detector.

No dimensionamento do colimador. foram levadas em consideração as dimensões da janela do detector, as recomendações de formas internacionais 13] e a necessidade de se evitar a contribuição de trechos do fio já contados ou ainda por medir,

- 4) Multrcanal (1024 canais); e
- 5) Microcomputador e Impressora.

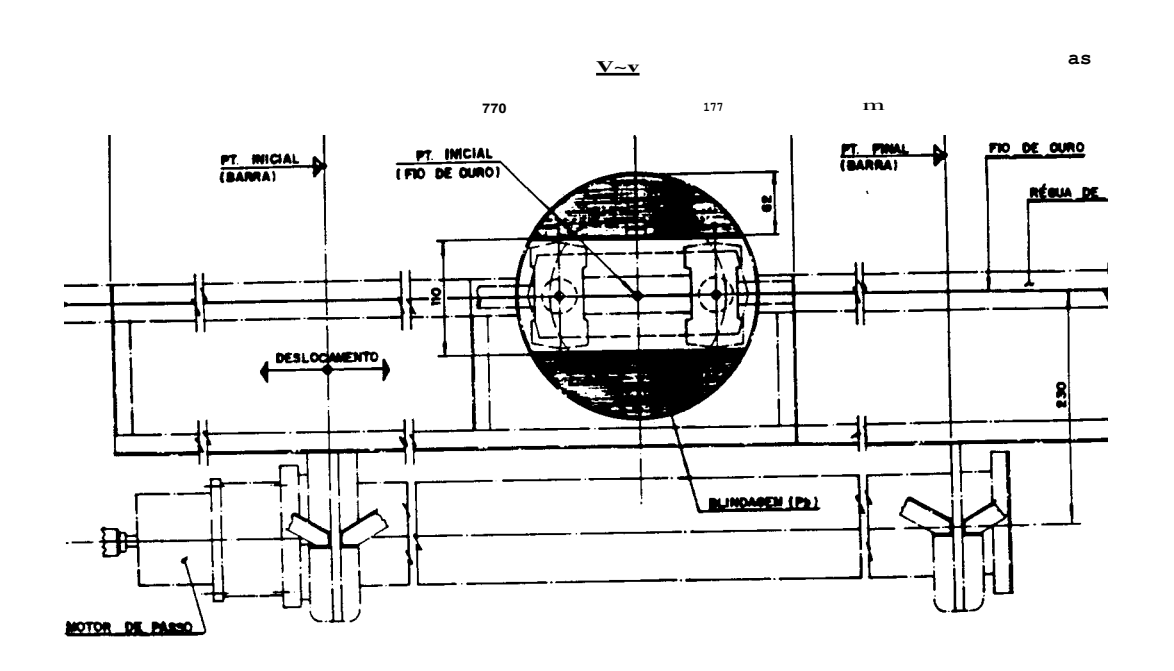
Todo o Sistema de Contagem foi calibrado previamente com uma fonte de fio de 12 Eu, sendo uma fonte emissora de vários gamas ie energia (de 122 a 1408 keV) com meia-vida de 13.5 anos, no formato de fio (1 mm de diâmetro e 10 mm de comprimento). Foram niluados 8 fotopicos entre 244 e 1408 keV, tendo sido calculada a respectiva eficiência de 5.064E-03 (+1- 3.065E-05), valor ompativel com outras referências [4].

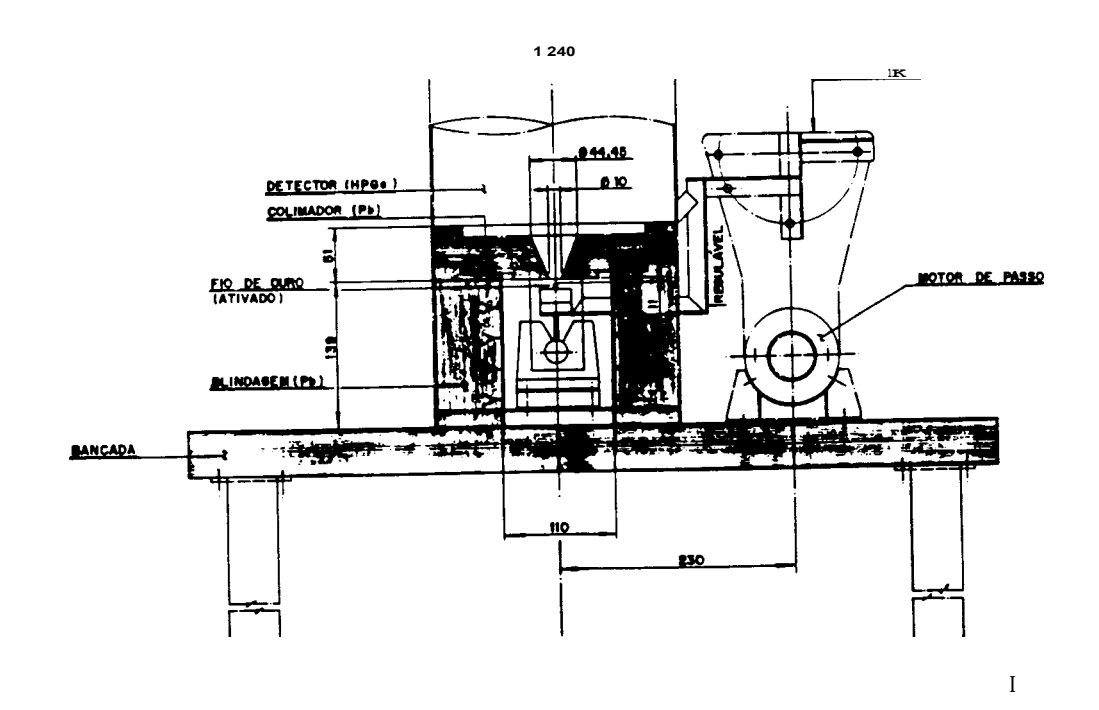
Para iniciarmos a contagem, a régua é movimentada para ajustar o indicador de posição do sistema de movimentação com a cota )0 mm. Feito isto, zeramos o contador e iniciamos a contagem, segundo nossa estratégia de medição, de acordo com os avanços ongitudinais providos pelo motor de passo no fuso. A figura 1 apresenta as vistas lateral e superior do Sistema de Contagem.

O número de contagens liquidas para a posição central foi de 20 .000, enquanto que para as outras posições foi de 10.000, obtendo-;e uma incerteza estatística da ordem de 1.5%.



### FIGURA I \_ VISTAS SUPERIOR E LATERAL DO SISTEMA DE CONTAGEM





1)



## SEÇÃO LATINO-AMERICANA DA AMERICAN NUCLEAR SOCIETY

Os fios de ouro irradiados foram de 0.125 e 0.25 mm de diâmetro e 1300 mm de comprimento, para avaliarmos as vantagens e desvantagens de cada um, com relação a caracaterísticas de montagem, tempo de irradiação e perturbação ao fluxo.

O fluxo térmico é obtido pela expressão abaixo 151:

$$0 = \frac{A',(1-FCd/R_{\star})}{No\ a..\ K_{\star}}$$

onde:

A é a atividade de saturação do fio nu, obtida experimentalmente. considerando-se o tempo de irradiação, o tempo de decaimento. a eficiência do sistema de contagem e as propriedades nucleares do detector,

F, é o fator de Cádmio, para compensar o fato do Cd não ser um filtro ideal de nêutrons térmicos, fato este explicado pela faixa muito larga de ressõnancia epitérmica, absorvendo também uma pequena parcela de nêutrons epitérmicos. Este fator depende da geometria e dimensões do detector, da pureza dos materiais, das características de absorção e da distribuição angular e energética dos nêutrons.

R, é a razão de Cádmio, que é obtida experimentalmente, sendo definida como a razão entre as atividades de saturação sem e com a cobertura de Cd:

 $N_{O}$  é  $_{O}$  número de átomos do detetor.

6^. é a seção microscópica de ativação: e

 $K, \'e\ o\ fator\ \textbf{de\ perturbação\ do\ fluxo\ t\'ermico},\ que\ inclui\ efeitos\ \textbf{de\ auto-blindagem\ e\ de\ depressão\ de\ fluxo.}$ 

Foi aplicada a fórmula de propagação de erros na equação acima considerando-se a variação percentual de cada um dos componentes tendo-se chegado a um erro de 2.8% de todo o processo de medida

#### 3. RESULTADOS OBTIDOS

A figura 2 apresenta o mapeamento do fluxo neutrónico térmico medido no canal central. O comprimento ativo das varetas está entre as cotas 91 e 546 mm e a posição vertical das barras de controle foi a de "inseridas em 40% do comprimento ativo".



# SEÇÃO LATINO-AMERICANA DA AMERICAN NUCLEAR SOCIETY

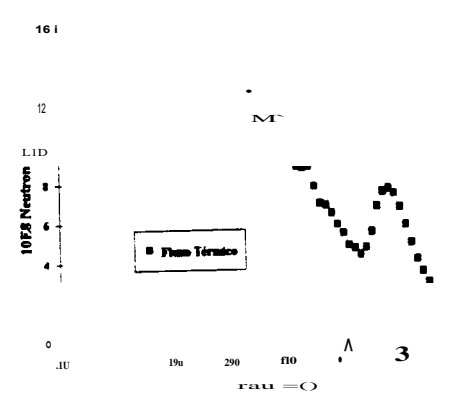


Figura 2 - Fluxo Térmico na posição Central

Para obtermos um valor aproximado da soma dos fluxos epitérmico e rápido apresentamos a figura 3, onde está plotada a Razão de Cádmio medida ao longo da dimensão vertical, uma vez que a razão entre o fluxo térmico e os fluxos epitérmico e rápido é igual a (Rcd - 1). considerando-se como pequena a fração de nêutrons epitérmicos existentes entre o linute da faixa térmica (gkT) e o valor da energia de corte do Cd (Ecd). A equação 2 nos indica matematicamente a composição do termo Rcd - 1.

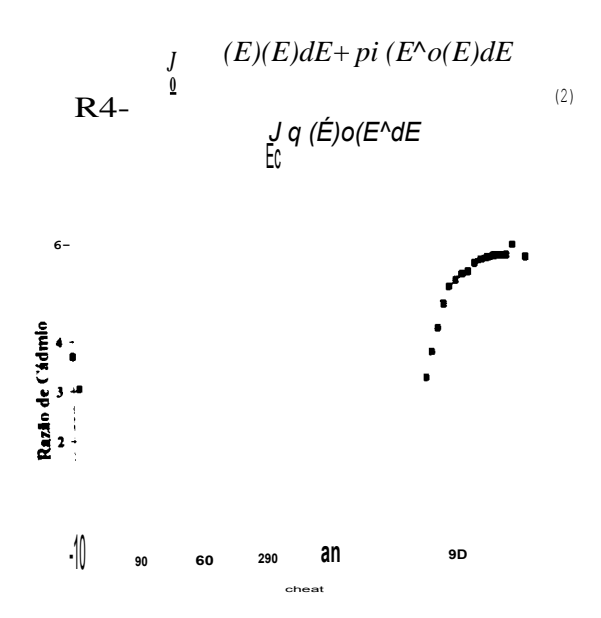


Figura 3 - Razão de Cádmio x Cota



## SEÇÃO LATINO-AMERICANA DA AMERICAN NUCLEAR SOCIETY

Ao longo do comprimento ativo, a Razão de Cádmio manteve o seu valor próximo a 2,1. Na região fora do comprimento ativo. e principalmente na parte superior do núcleo, onde o fenômeno da termalização é mais preponderante, o valor de Rcd foi maior, chegando até a ser da ordem de 5,5.

Na região do refletor (externa aos elementos combustíveis) o valor do fluxo térmico apresentou o formato da figura 4, com o valor máximo de 39,75E08 nêutrons/cm2.s.

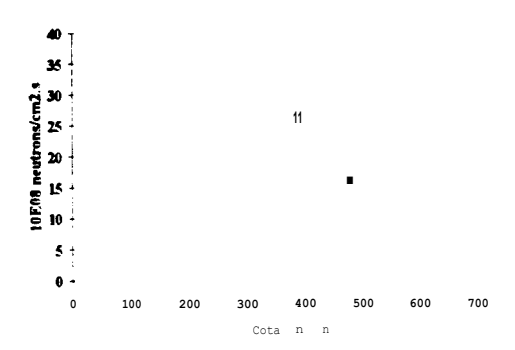


Figura 4 - Fluxo Térmico no Refletor

#### 4. COMPARAÇÕES COM OUTROS MÉTODOS

Para avaliarmos os resultados medidos com a ativação de fios, comparamos com resultados medidos pela ativação de folhas de ouro, pelo emprego de Mini-Câmara de Fissão e por meio de modelagem utilizando os soft' ares HAMMER-CITATION (teoria de Difusão de Nêutrons). Em todos os casos, foi feita a normalização dos respectivos valores de fluxo térmico pelo maior valor medido 16 e 71. A Figura 5 mostra a comparação entre os valores medidos por fio e por Câmara de Fissão, cuja diferença teve a média de 0.055 e desvio padrão de 0.043, o que demonstra haver coerência nos resultados obtidos pela técnica de ativação de fios de ouro

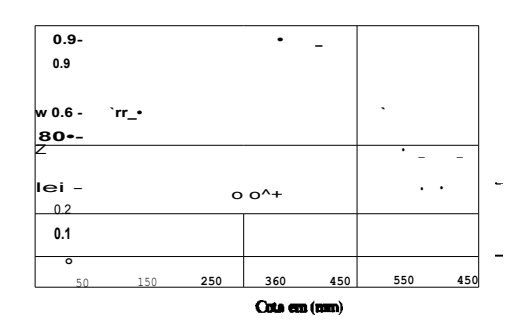


Figura 5 - Fluxo Térmico Fio 1 Cam. Fissão

As possíveis explicações para as discrepâncias observadas são:

a - Diferença entre os dois métodos no número de medidas para cada posição;



# SEÇÃO LATINO-**AMERICANA DA AMERICAN NUCLEAR** SOCIETY

- b Não contabilização das fissões de 238U, nas medidas da Mim-Câmara de Fissão, uma vez que assumiu -se que as fissões que ali ocorreram seriam exclusivamente devido ao 235U o que não é totalmente correto devido existir também um parcela pequena de 238U:
- c Cômputo do fluxo rápido junto ao fluxo térmico pela Mini-Câmara de Fissão. Devemos comparar assim o fluxo térmico normalizado da Câmara de Fissão (que pelo visto não é estritamente térmico) com as medidas normalizadas do fio nú (que considera nêutrons de todas as energias). A Figura 6 mostra a comparação mencionada;

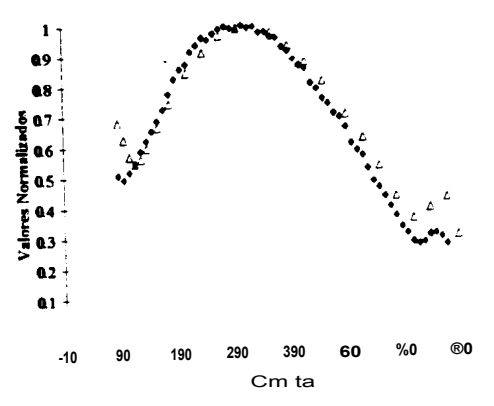


Figura 6 - Atividade Fio Nu i Fluxo Cam. Fissão

d - Diferença nos erros de posicionamento entre os dois Caso haja unia diferença entre as duas irradiações para o fio (com e sem cobertura de Cd). em termos de posicionamento dos fios na bancada de contagem. estaremos com medidas decaladas os resultados de fluxo térmico e a comparação com as medidas da Mini-Câmara de Fissão.

A figura 7 mostra a comparação entre os valores calculados numericamente (CITATION) e com os valores experimentais.

se haver uma pequena discrepância nos valores relativos nas cotas entre -10 e 190 mm

Obtendo-se o módulo das diferenças dos fluxos normalizados encontramos a média como sendo 0.09 e o desvio padrão de 0.015, indicando também haver coerência entre os dois métodos.

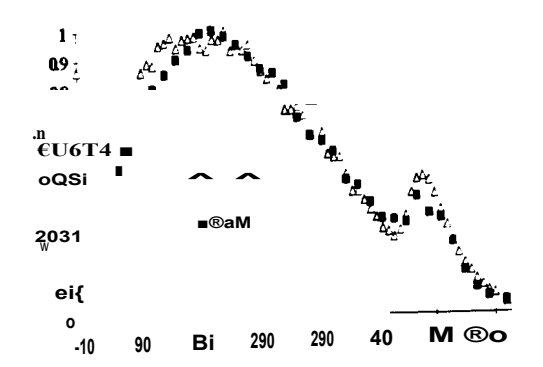


Figura 7 - Comparação Fluxo Térmico Fio i CITATON



### SEÇÃO LATINO-AMERICANA DA AMERICAN NUCLEAR SOCIETY

#### 5. CONCLUSÕES

A medida do fluxo neutrónico em núcleos de reatores nucleares no Brasil vem sendo feita por meio de vários métodos [6 e 7]. No Reator IPEN/IvB-01, utiliza-se o método de detectores de ativação na forma de folhas, entre outros [8]. Com este trabalho, mostrouse a viabilidade do emprego do método de detectores de ativação na forma de fios (com diâmetros de 0.125 e 0.25 mm), possibilitando a sua aplicação frequente, inclusive com outros materiais, em futuras medidas naquele ou outro reator.

Em nossa experimentação, chegamos à conclusão de que um período total de 90 minutos  $\acute{e}$  suficiente para a irradiação dos fios (nus) de 0.125 mm de diâmetro. As atividades induzidas permitiriam a contagem de até dois fios por dia (60 pontos em média, com espaçamento de 10 mm entre si), considerando-se 10.000 contagens líquidas na região do fotopico . integradas ao longo do tempo, em cada posição, com uma incerteza estatística da ordem de 1.5%. Para as medidas futuras, recomendamos que sejam obtidas 20.000 contagens líquidas.

Para o método da razão de Cádmio, irradiamos fios com cobertura de Cd, por um período médio de 7 horas, para que pudéssemos reunir as mesmas atividades existentes na medida dos fios nus. otimizando a operação de contagem.

No caso dos fios de  $0.250\,$  mm de diâmetro, estes mesmos períodos de irradiação mostraram-se mais que suficientes para diminuir o tempo total de contagem. melhorando a eficiência desta tarefa. A preparação dos fios mostrou-se também adequada, só que um pouco desfavorável em relação aos fios de  $0.125\,$  mm, devido a sua maior rigidez.

Na região central dos fluxos medidos encontramos algumas flutuações, próximas à cota de 200 mm, que devem ser melhor averiguadas, aumentando a quantidade de medidas. efetuando-se um tratamento estatístico mais completo dos resultados obtidos. Este trabalho já está inserido no conjunto de atividades de otimização do processo a serem conduzidas no Reator IPEN/MB-0 1.

#### 6. <u>REFERÊNCIAS BIBLIOGRÁFICAS</u>

- [1] ADOLPH, J. "Studie zur experimentellen Bestimmung der thermischen neatronenflussdichteverteilung in den Forschungsreaktoren FRG 1 und FRG 2" Geesthacht-Tesperhude, Gesellschaft fuer Kernenergieverwertung in Schiffbau und Schiffahrt m.b.H. Alemanha 1984 (GKSS-841E134).
- [2] DUDERSTADT, J.J: HAMILTON. L.J "Nuclear Reactor Analysis" John Wiley & Sons EUA 1976.
- [3] AMERICAN NATIONAL STANDARD "Calibration and Usage of Germanium Detectors for Measurement of Gamma-Ray Emission of Radionuclides" N42.2.14 EUA Abril 1978.
- [4] DEBERTIN. K.: SCHOTZIG. U.: WALZ. K.F.; WEISS. H. "Ef teiency Calibration of Semiconductor Spectrometers Techniques and Accuracies" Proceedings ERDA X and Gamma Rav Symposium Ann Arbour Michigan EUA 1976.
- [5] DROULERS, Y. "Thermal Neutrons" Neutron Fluence Mesaurements Report Series No. 107 IAEA Viena 1970.
- [6] MIRANDA, AF; BITELLI. U.U: JEREZ, R FERREIRA, C.R "Mapeamento do Fluxo de Nêutrons no reator IPENIMB-01 com Câmara de Fissão miniatura". In: IX ENCONTRO NACIONAL DE FÍSICA DE REATORES E TERMO-HIDRÁULICA, proceedings ... in Cachambu. Brasil, outubro de 1993. Associação Brasileira de Energia Nuclear, p. 132-134.
- [7] GUIMARÃES, RRR SANTORO. C.A.B "Levantamento da Distribuição do Fluxo de Nêutrons Térmicos e Rápidos no Núcleo do Reator IPR-R1" In: IV ENCONTRO NACIONAL DE FÍSICA DE REATORES E TERMO-HIDRÁULICA, proceedings ... in São José dos Campos, Brasil, 1983. Associação Brasileira de Energia Nuclea STC2.
- [8] BTTELLI, U.U; JEREZ, R; YAMAGUCHI, M. "Calibração de potência do reator IPEN/MB-O1 através do mapeamento do fluxo de nêutrons térmicos por detectores de ativação" In: V CONGRESSO GERAL DE ENERGIA NUCLEAR: proceedings .. in Rio de Janeiro, Brasil. agosto de 1994. Associação Brasileira de Energia Nuclear, p.87-90.

# SEÇÃO LATINO-AMERICANA DA AMERICAN NUCLEAR SOCIETY

[9] - KOMPANEK, A.1. e TARNUZZER, E.C. - "NeutronActivated Mires Plot F7uzes in Yankee Core" - Nucleonics, 20 (2): 44, Fev. 1962.